



杭州电子科技大学
HANGZHOU DIANZI UNIVERSITY

《数字信号处理课程设计》实验报告

实验报告 2:FFT 频谱分析

学院 卓越学院

学号 23040447

姓名 陈文轩

专业 智能硬件与系统(电子信息工程)

2025 年 5 月 20 日

1 实验目的

- 1、通过这一实验，能够熟练掌握快速离散傅里叶变换 (FFT) 的原理及其用 FFT 进行频谱分析的基本方法。
- 2、在通过计算机上用软件实现 FFT 及信号的频谱分析。
- 3、通过实验对离散傅里叶变换的主要性质及 FFT 在数字信号处理中的重要作用有进一步的了解。

2 实验基本原理

2.1 快速傅里叶变换 (FFT) 基本原理

离散傅里叶变换 (DFT) 是将时域离散信号变换到频域的一种基本方法，其定义为：

$$X[k] = \sum_{n=0}^{N-1} x[n] e^{-j\frac{2\pi}{N}kn}, \quad k = 0, 1, \dots, N-1 \quad (1)$$

其逆变换 (IDFT) 定义为：

$$x[n] = \frac{1}{N} \sum_{k=0}^{N-1} X[k] e^{j\frac{2\pi}{N}kn}, \quad n = 0, 1, \dots, N-1 \quad (2)$$

直接计算 DFT 需要 $O(N^2)$ 的计算复杂度。快速傅里叶变换 (FFT) 通过分解算法，将计算复杂度降至 $O(N \log_2 N)$ ，显著提高了计算效率。

2.1.1 基 2FFT 算法 (Cooley-Tukey 算法)

基 2FFT 算法基于序列长度为 2 的整数幂 ($N = 2^m$) 时，可将 DFT 分解为更小规模的 DFT 计算。具体地，将序列分为奇偶两组：

$$X[k] = \sum_{r=0}^{N/2-1} x[2r] e^{-j\frac{2\pi}{N}k(2r)} + \sum_{r=0}^{N/2-1} x[2r+1] e^{-j\frac{2\pi}{N}k(2r+1)} \quad (3)$$

令 $W_N = e^{-j\frac{2\pi}{N}}$ ，上式可重写为：

$$X[k] = \sum_{r=0}^{N/2-1} x[2r] W_N^{2rk} + W_N^k \sum_{r=0}^{N/2-1} x[2r+1] W_N^{2rk} \quad (4)$$

注意到 $W_N^2 = W_{N/2}$ ，可得：

$$X[k] = G[k] + W_N^k \cdot H[k] \quad (5)$$

其中 $G[k]$ 和 $H[k]$ 分别是偶序列和奇序列的 DFT，各自长度为 $N/2$ 。

由于 $G[k]$ 和 $H[k]$ 的周期性，对于 $k + N/2$ ：

$$X[k + N/2] = G[k] - W_N^k \cdot H[k] \quad (6)$$

这种蝶形运算结构可递归应用，直至最小规模的 DFT($N=2$)。

2.2 FFT 频谱分析原理

频谱分析是分析信号频率成分的方法，通过 FFT 可以高效计算信号的频谱。对于长度为 N 的序列，其频谱分析过程如下：

2.2.1 频谱计算

通过 FFT 计算信号的频域表示：

$$X[k] = \text{FFT}(x[n]), \quad k = 0, 1, \dots, N-1 \quad (7)$$

2.2.2 频率分辨率

对于采样频率为 f_s 的信号，频率分辨率为：

$$\Delta f = \frac{f_s}{N} \quad (8)$$

第 k 个频点对应的实际频率为： $f_k = k \cdot \Delta f$ （对于 $0 \leq k \leq N/2$ ）。

2.2.3 功率谱计算

信号的功率谱密度 (PSD) 可通过以下方式计算：

$$P[k] = \frac{|X[k]|^2}{N}, \quad k = 0, 1, \dots, N-1 \quad (9)$$

对于单边谱，需要对 $k = 1, 2, \dots, N/2 - 1$ 的值乘以 2（因为对称性）。

3 实验要求及内容

(1) 周期为 N 的正弦序列 $\sin(\frac{2\pi}{N}n)$ ，且 $0 \leq n \leq N-1$ ， $N=32$ ，求 N 点 DFT。

(2) 复合函数序列 $0.9 \sin(\frac{2\pi}{N}n) + 0.6 \sin(\frac{2\pi}{N/3}n)$

(3) 矩形序列 $R_N(n)$ ， $N=8$ ；求 N 点 DFT 和 $2N$ 点 DFT。

(4) 见教材习题 2.31

有一调幅信号

$$x_a(t) = [1 + \cos(2\pi \times 100t)] \cos(2\pi \times 600t)$$

DFT 做频谱分析，要求能分辨 $x_q(t)$ 的所有频率分量，若用 $f_x = 3kHz$ 频率抽样，首先分析抽样数据为 $N=120$ 点的频谱分析，求 $X(k) = DFT[x(n)]$ ， $N=120$ 点，画出 $X(k)$ 的幅频特性 $|X(k)|$ ，标出主要点的坐标值。其次分析抽样数据为 $N=128$ 点的频谱分析，求 $X(k) = DFT[x(n)]$ ， $N=128$ 点，画出 $X(k)$ 的幅频特性 $|X(k)|$ ，标出主要点的坐标值。

比较上述不同长度采样点情况下的实验结果，说明利用 DFT 对连续信号进行傅里叶分析可能造成哪些误差？

4 实验结果与分析

4.1 题目一

```

1 clear all
2 N = 32;
3 n = 0:N-1;
4 xn = sin(2*pi*n/N) %32点的正弦信号
5 XK = fft(xn, N); %32点FFT转换
6 magXK = abs(XK);
7 phaXK = angle(XK);
8
9 subplot(1,2,1)
10 plot(n, xn)
11 xlabel('n'); ylabel('x(n)');
12 title('x(n) N=32');
```

```
13
14 subplot(1,2,2)
15 k = 0:length(magXK)-1; %绘制时域信号和频域幅度谱
16 stem(k, magXK, '.');
17 xlabel('k'); ylabel('|X(k)|');
18 title('X(k) N=32');
19
20
21 %频谱特性解释:
22 %频点横坐标确定: 生成的信号是频率为1周期/32点的正弦波, 在DFT
    后, 理论上应该在k=1和k=31(即N-1)处有两个峰值
23     %这是因为DFT的周期性: k=N-1对应的是负频率分量
        (-1/32点), K=1对应的是正频率分量(1/32点)
24     %正负频率分量, 关于N/2对称, 这是FFT频谱的特性
25 %频点强度确定: 对于纯正弦波 $A\sin(2\pi fn)$ , DFT系数的理论幅度为 $AN/2$ 
    , 这里就是16
```

Code Listing 1: 实验一 MATLAB 实现代码

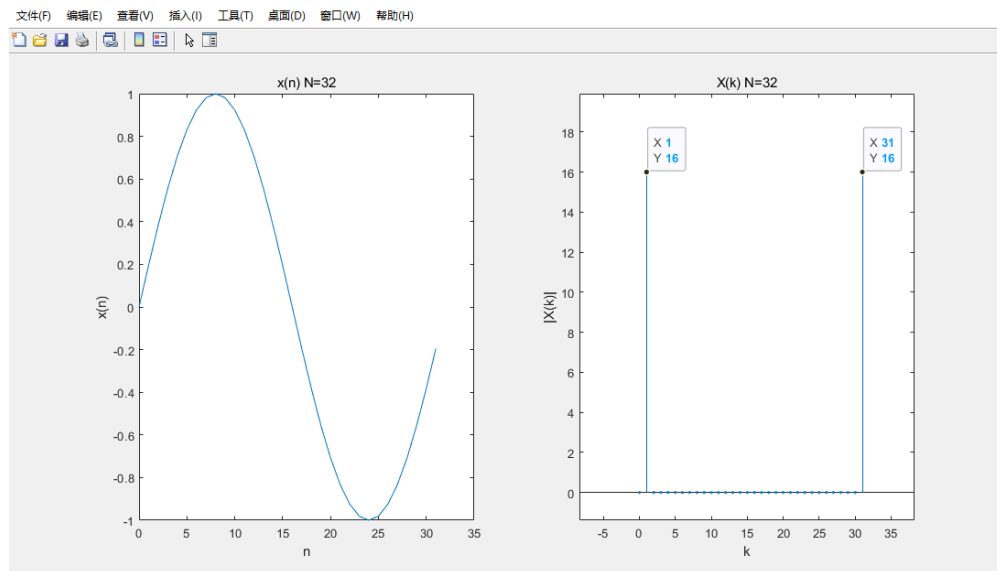


图 1 matlab 绘图

4.2 题目二

```
1 clear all
2 N = 100;
3 n = 0:N-1;
4 xn = 0.9*sin(2*pi*n/N) + 0.6*sin(2*pi*n/N*3);
5 %时域信号构成:
6 %第一个正弦波: 频率1周期/100点, 幅度0.9
7 %第二个正弦波: 频率3周期/100点, 幅度0.6
8
9 XK = fft(xn, N);
10 magXK = abs(XK);
11 phaXK = angle(XK);
12
13 subplot(1,2,1)
14 plot(n, xn)
15 xlabel('n'); ylabel('x(n)');
16 title('x(n) N=100');
17
18 subplot(1,2,2)
19 k = 0:length(magXK)-1; %绘制时域信号和频域幅度谱
20 stem(k, magXK, '.');
21 xlabel('k'); ylabel('|X(k)|');
22 title('X(k) N=100');
23
24 %FFT频谱解释:
25 %横坐标(k): DFT频点序号 (0到99)
26     %k=1对应频率: 1/100 cycles/sample (即第一个正弦波)
27     %k=3对应频率: 3/100 cycles/sample (即第二个正弦波)
28     %k=97对应频率: -3/100 cycles/sample (第二个正弦波的负频率分量)
29     %k=99对应频率: -1/100 cycles/sample (第一个正弦波的负频率分量)
30     %正负频率分量关于N/2对称
31 %纵坐标(|X(k)|): 频谱幅度 (理论预测值)
32     %对于幅度A的正弦波, DFT峰值幅度应为A*N/2
```

```

33 %第一个正弦波：0.9×100/2 = 45 (k=1和k=99)
34 %第二个正弦波：0.6×100/2 = 30 (k=3和k=97)
35
36 %由于 N=3 太小，无法分辨原始信号中的高频分量 (3 cycles/100)，
    导致频谱严重失真。
37 %当 N=3，最高可分辨频率是 0.5 cycles/sample (Nyquist 频率)。但
    原信号的高频分量0.03cycles/sample 在 N=3 时被 混叠 (aliasing)
    到低频。
38 %原信号周期100/3=33.3,N=3太短，频谱泄漏严重

```

Code Listing 2: MATLAB 实现代码

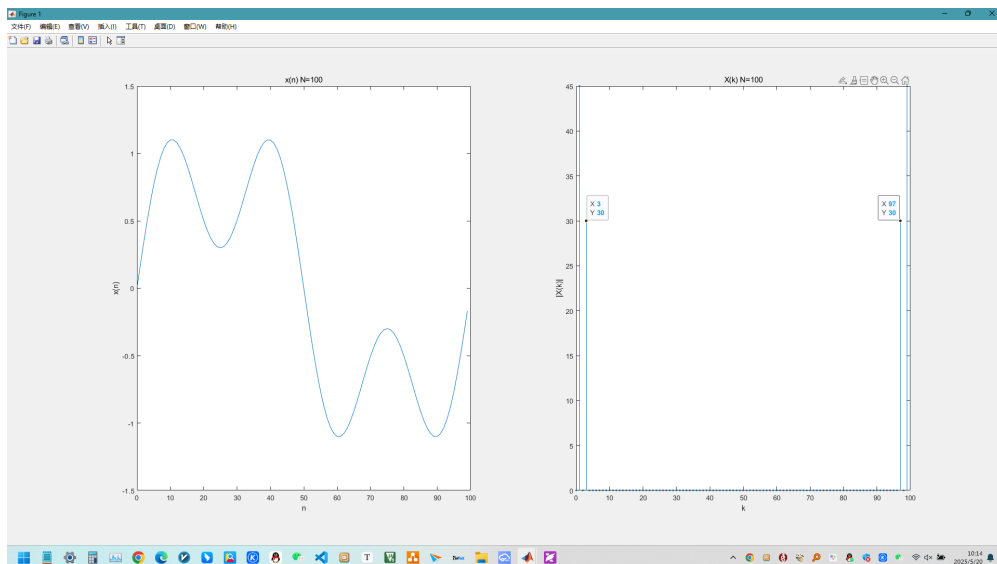


图 2 matlab 绘图

4.3 题目三

```

1 clear all
2 M = 16;
3 n=[0:1:7];
4 N = length(n);
5 xn = ones(1,N); %这是一个宽度为8的矩形脉冲，在数字信号处理中
    称为矩形窗函数
6 X1K = fft(xn, N); %FFT 运算

```

```
7 X2K = fft(xn, M);
8 magX1K = abs(X1K);
9 phaX1K = angle(X1K);
10 magX2K = abs(X2K);
11 phaX2K = angle(X2K);
12
13 subplot(1,3,1)
14 stem(n, xn)
15 xlabel('n'); ylabel('x(n)');
16 title('x(n) N=8');
17
18 subplot(1,3,2)
19 k1 = 0:length(magX1K)-1; % Corrected the index calculation
20 stem(k1, magX1K, '.'); % Changed '.' to '.' for marker style
21 xlabel('k'); ylabel('|X(k)|');
22 title('X(k) N=8');
23
24 subplot(1,3,3)
25 k2 = 0:length(magX2K)-1; % Corrected the index calculation
26 stem(k2, magX2K, '.'); % Changed '.' to '.' for marker style
27 xlabel('k'); ylabel('|X(k)|');
28 title('X(k) M=16');
29
30 %频谱图1: (N=8)
31 %FFT分析: 对8点信号做8点FFT (N=8)
32 %对于8点采集宽度为8的矩形脉冲, 就是只有直流信号(时域信号幅值一
    直为1, 没有振荡成分, 没有交流分量)
33 %所以K=1~7(交流分量)FFT频谱上的幅值就是0, 所有FFT幅值都在k=0
34 %k=0,  $e^{j0}=1$ , 计算得幅值为8
35
36 %频谱图2: (N=16)
37 %幅值: 对于16点采集宽度为8的矩形脉冲, 时域呈现出窗函数, 窗函数
    对应的FFT频谱就是离散Sinc函数, 并关于N/2对称
38 %横坐标: 由于分子 $1-e^{j\pi k}$ 为偶数时为0, 奇数时为2, 所以奇数
```


时有幅值，偶数时没有幅值，而是呈现离散 `sinc` 函数的形状。

Code Listing 3: MATLAB 实现代码

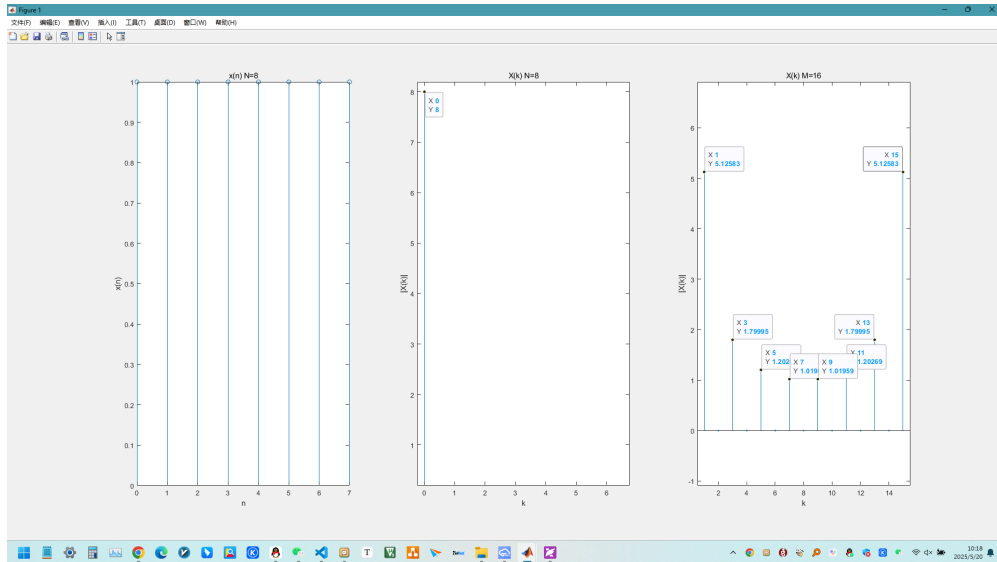


图 3 matlab 绘图

4.4 题目四

```

1 clear all
2 N = 128;
3 M = 120;
4 fs = 3000 ;
5 t=0:1/fs:120/3000; %采样时间40ms,整数周期采样
6 t2=0:1/fs:128/3000; %采样时间42.67ms,非整数周期采样
7
8 xn = cos(2*pi*600*t).*(1+cos(2*pi*100*t));
9 x2n = cos(2*pi*600*t2).*(1+cos(2*pi*100*t2));
10 %这是一个幅度调制信号:
11 %载波: 600 Hz 余弦波(高频)。
12 %调制信号: 100 Hz 余弦波(低频), 叠加直流分量1, 形成时变幅度。
13
14 %FFT频谱解释:
15 %N=120:

```

```
16 %频率分辨率:  $F_s/120=25\text{HZ}$ 
17 %AM时域信号积化和差得:  $x(t)=\cos(2\pi \cdot 600t)+0.5\cos(2\pi \cdot 500t)$ 
     $+0.5\cos(2\pi \cdot 700t)$ 
18 %所以横坐标在 $k=20,24,28$ 有幅值, 且 $k=24$ 的幅值为其余两个的两倍
19 %对于单频余弦信号, FFT频谱幅值为 $AN/2$ , 所以 $k=20$ 时, 幅值就是0
     $.5 \cdot 120/2=30$ 
20
21 %N=128
22 %频率分辨率:  $F_s/128=23.44\text{HZ}$ 
23 %频谱出现能量扩散(频谱泄漏), 因为信号频率未对齐DFT频点。
24 %主峰(600 Hz,  $k=25.6$ (无法对应))和边带(500/700 Hz)的能量会分
    散到多个频点。
25
26 XK = fft(x2n, N); %N=120采样
27 X1K = fft(xn, M);
28 magXK = abs(XK);
29 phaXK = angle(XK);
30
31 magX1K = abs(X1K);
32 phaX1K = angle(X1K);
33
34
35 subplot(1,4,1)
36 plot(t, xn)
37 xlabel('n'); ylabel('x(n)');
38 title('x(n) N=120');
39
40 subplot(1,4,2)
41 plot(t2, x2n)
42 xlabel('n'); ylabel('x(n)');
43 title('x(n) N=128');
44
45 subplot(1,4,3)
46 k = 0:length(magXK)-1; % Corrected the index calculation
```

```

47 stem(k, magXK, '.'); % Changed '.' to '.' for marker style
48 xlabel('k'); ylabel('|X(k)|');
49 title('X(k) N=128');
50
51 subplot(1,4,4)
52 k1 = 0:length(magX1K)-1; % Corrected the index calculation
53 stem(k1, magX1K, '.'); % Changed '.' to '.' for marker style
54 xlabel('k'); ylabel('|X(k)|');
55 title('X(k) N=120');

```

Code Listing 4: MATLAB 实现代码

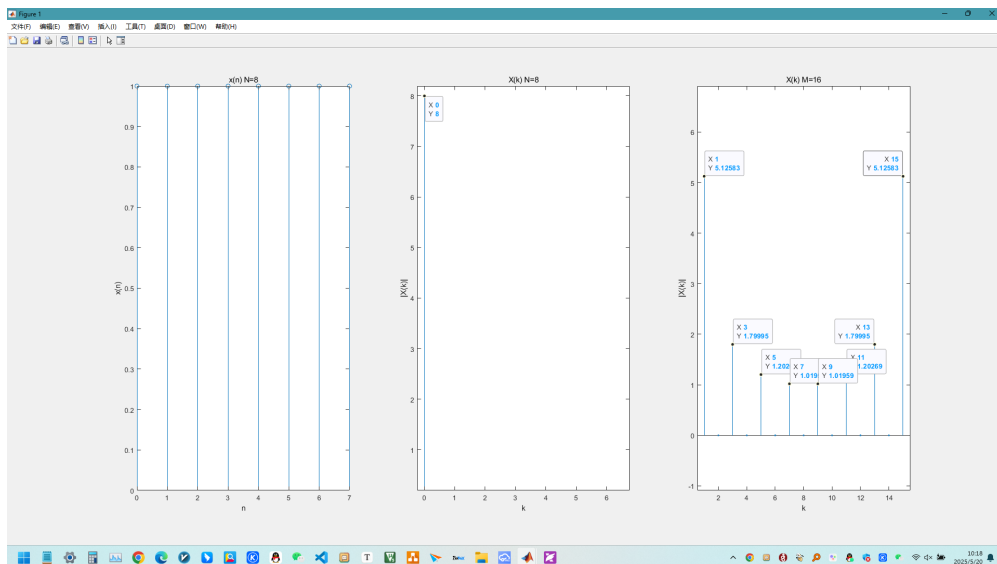


图 4 matlab 绘图

5 实验小结

通过本次快速傅里叶变换 (FFT) 频谱分析实验，我系统地学习了 FFT 算法的基本原理和应用技巧，掌握了在 MATLAB 环境下进行频谱分析的方法。通过四个不同的实验案例，我对 FFT 分析的特性有了更加深入的理解：

5.1 关键发现

1. **FFT 的基本特性:** 通过实验一和二, 验证了单频和多频信号的 FFT 频谱特性。对于频率为 $f = 1/N$ 的正弦信号, 其频谱在 $k = 1$ 和 $k = N - 1$ 处呈现对称峰值, 幅值理论上为 $AN/2$, 这与实验结果相符。
2. **频谱泄漏现象:** 在实验四中, 通过比较 $N=120$ 和 $N=128$ 点 FFT 的结果, 明显观察到当信号频率与 FFT 频点不对准时, 能量会“泄漏”到相邻频点, 导致频谱分辨率下降和能量扩散。
3. **零填充效应:** 实验三通过对比 $N=8$ 和 $N=16$ 点 FFT 结果, 展示了零填充如何改变频谱的表现形式。零填充不会提高频率分辨率, 但能使频谱表现更为平滑和连续。
4. **调制信号分析:** 实验四验证了调幅 (AM) 信号在频域的表现, 证实了时域乘积在频域转化为卷积的特性, 呈现出载波 (600Hz) 以及上下边带 (500Hz/700Hz)。

5.2 实验中的误差来源

利用 DFT 对连续信号进行频谱分析时, 可能产生以下误差:

- **频谱泄漏 (Spectral Leakage):** 当分析窗口长度不是信号周期的整数倍时, 会导致能量从实际频率扩散到邻近频率, 如实验四中 $N=128$ 的情况所示。
- **栅栏效应 (Picket Fence Effect):** DFT 只能在离散频点上计算频谱值, 当信号的实际频率落在这些频点之间时, 会导致幅值测量误差。
- **分辨率限制:** 频率分辨率受限于 $\Delta f = f_s/N$, 实验四中两种采样长度产生不同分辨率 (25Hz vs 23.44Hz)。
- **截断误差:** 有限长度采样会造成信号截断, 相当于对信号应用了矩形窗, 引入额外的频谱成分。

5.3 应用启示

在实际应用 FFT 进行频谱分析时, 应当注意:

- 选择合适的采样频率, 确保满足奈奎斯特采样定理
- 尽可能使采样长度为信号周期的整数倍, 减少频谱泄漏
- 在需要精确测量频率和幅值时, 考虑应用适当的窗函数和插值技术

- 理解零填充可以提高频谱的视觉分辨率，但不会提高实际频率分辨率

本次实验加深了我对傅里叶变换和频谱分析的理解，尤其是 FFT 算法在数字信号处理中的重要作用。通过实际编程验证理论知识，我更清晰地认识到 FFT 在信号分析、通信系统、声音处理等领域的广泛应用价值。